

**ALBUM FOTOGRAFICO DE LA
HOJA DE LONGARES (27-16)
MAYO/95**

Este album es de documentación de la actividad de
la Compañía en el desarrollo de su trabajo de
sondeo en la zona de

COMPAÑIA GENERAL DE SONDEOS, S.A.

*SE CAMBIA LA NUMERACIÓN DE LAS FOTOGRAFIAS.
EN EL PLANO DE SITUACIÓN DE NUESTRAS DE
1 - 29 A 9100 - 9128



FOTO 1.- 27-16-GS-AH-9100. Niveles carbonatados y margosos con barras conglomeráticas a techo de la unidad de San Caprasio, en la carretera de Fuendetodos.



FOTO 2.- 27-16-GS-AH-9101. Panorámica de las calizas del Jurásico superior en la carretera de Villanueva a Fuendetodos (pk 20).



FOTO 3.- 21-16-GS-AH-9102. Aspecto de los conglomerados de las unidades de Remolinos y Sierra de Pallaruelo en la carretera de Villanueva a Fuendetodos.



FOTO 4.- 27-16-GS-AH-9103. Detalle de los conglomerados rojizos, desorganizados, de la U. Sierra de Pallaruelo de la foto anterior.



FOTO 5.- 27-16-GS-AH-9104. Detalle de los conglomerados amarillentos, más organizados, de la U. Remolinos, de la Foto 3.



FOTO 6.- 27-16-GS-AH-9105. Detalle de la discordancia entre los grupos conglomeráticos de las fotos 4 y 5.



FOTO 7.- 27-16-GS-AH-9106. Panorámica con las calizas de la F.W. a la izquierda de la foto, y los conglomerados del Mioceno discordantes a la derecha.



FOTO 8.- 27-16-GS-AH-9107. Panorámica del Mioceno discordante sobre las calizas del Jurásico superior, al norte de la estructura de la Mezalocha.



FOTO 9.- 27-16-GS-AH-9108. Fracturas en las margas y calizas de la U. Sierra de Lanaja en la carretera de Puebla a Valmadrid.



FOTO 10.- 27-16-GS-AH-9109. Pliegues y fallas en la unidad carbonatada de la U. Sierra de Lanaja, al NO de la Puebla de Albortón.



FOTO 11.- 27-16-GS-AH-9110. Buzamiento hacia el SE de la unidad carbonatada de Sierra de Lanaja en la zona del Cerro Carnicero (entre La Puebla y Valmadrid)



FOTO 12.- 27-16-GS-AH-9111. Panorámica de la adaptación de los materiales de las unidades Sierra de Pallaruelo y Sierra de Lanaja a la estructura jurásica, en la zona de Hiedra, al este de Muel.



FOTO 13.- 27-16-GS-AH-9112. Ligera discordancia entre las unidades Sierra de Pallaruelo y Sierra de Lanaja en la zona de la foto anterior.



FOTO 14.- 27-16-GS-AH-9113. Calizas del Kimmeridgiense en el embalse de la Mezalocha.



FOTO 15.- 27-16-GS-AH-9114. Alternancia de margas con niveles de gravas a techo del Jurásico, al sur de la estructura de Mezalocha, cerca de la Balsa de F. Martínez.



FOTO 16.- 27-16-GS-AH-9115. Panorámica de la cantera de arcillas rojas de la unidad Sierra de Lanaja, al oeste de Mezalocha. A techo tramo carbonatado de la misma unidad.



FOTO 17.- 27-16-GS-AH-9116. Pequeñas fallas en los tramos arcillosos y carbonatados de la U. Sierra de Lanaja, en el mismo punto de la foto anterior.



FOTO 18.- 27-16-GS-AH-9117. Estructuras "mud-craks" en las calizas de la U. Sierra de Lanaja en el mismo punto de la foto anterior.



FOTO 19.- 27-16-GS-AH-9118. Panorámica del Mioceno discordante sobre las calizas del jurásico superior, en la carretera de Villanueva a Fuendetodos.

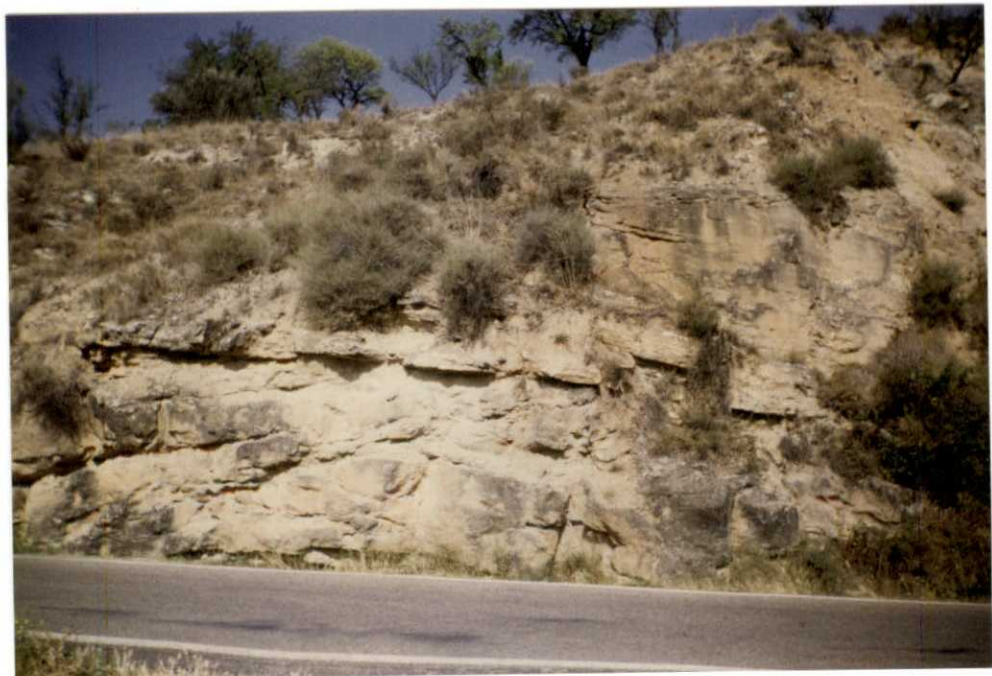


FOTO 20.- 27-16-GS-AH-9119. Canales de areniscas de la F. Weald en Villanueva de Huerva.



FOTO 21.- 27-16-GS-AH-9120. Discordancia de los conglomerados terciarios, sobre las calizas de la F. Weald.



FOTO 22.- 27-16-GS-AH-9121. Detalle de los conglomerados de la unidad Alcolea de Cinca al norte de Villanueva de Huerva.



FOTO 23.- 27-16-GS-AG-9122. Panorámica de la discordancia de los conglomerados terciarios sobre las calizas de la F. Weald en la margen derecha del río Huerva, al N de Villanueva.

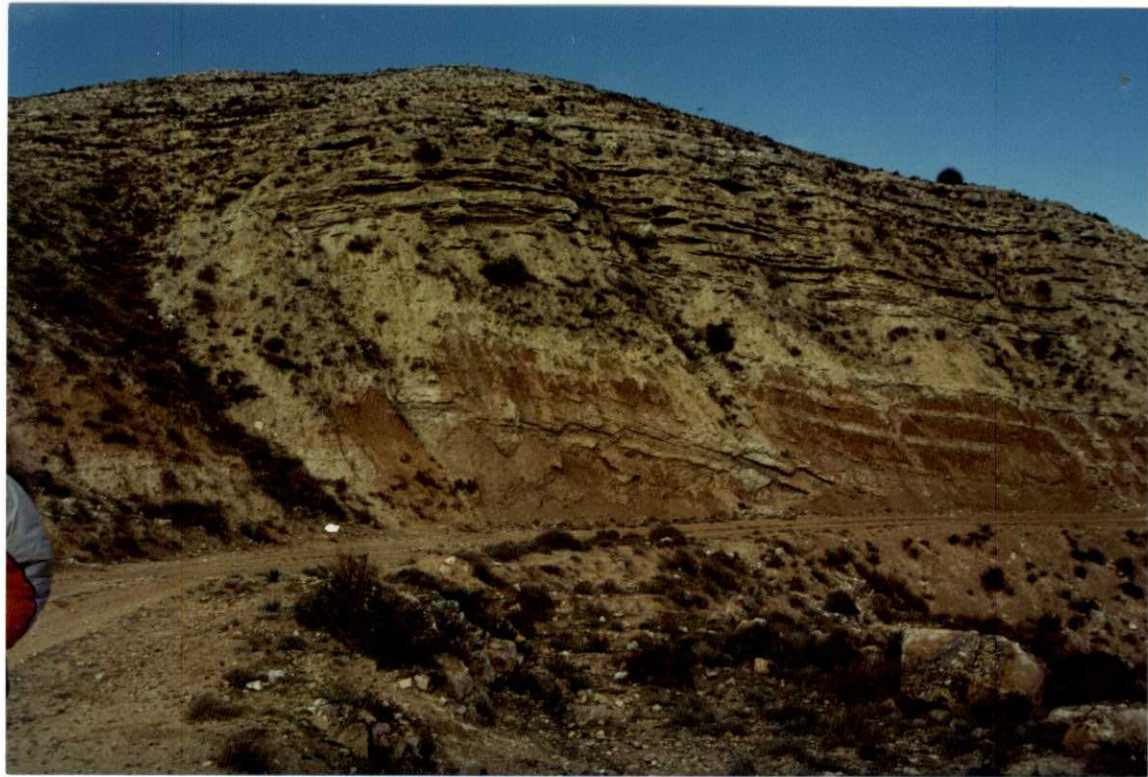


FOTO 24.- 27-16-GS-AH-9123. La estructura de los materiales jurasicos al este de Muel, provoca ligeras discordancias entre los materiales yesíferos del techo de la Unidad Sierra de Pallaruelo y los niveles detríticos de la base de la Unidad Montes de Castejón (Mioceno medio superior).



FOTO 25.- 27-16-GS-AH-9124. Panorámica de los materiales del Mioceno medio-superior (Unidades Sierra de Pallaruelo y Montes de Castejón) que rellenan las estructuras que afectan al jurásico al este de Muel (a la derecha, en primer termino las calizas de la Fm. Calizas con oncolitos de Higueruelas, y en el extremo izquierdo, la ladera constituida por la Fm. Ritmita calcárea de Loriguilla). En la zona central de la foto puede observarse el basculamiento de los materiales de la unidad inferior (Sierra de Pallaruelo).



FOTO 26.- 27-16-GS-AH-9125. Detalle de la zona izquierda de la foto anterior. Sobre las calizas del Jurásico, la unidad Sierra de Pallaruelo aparece ligeramente deformada, tanto hacia el norte como hacia el sur de la estructura. Por encima, la Unidad Montes de Castejón, sensiblemente horizontal, origina localmente pequeñas discordancias como la de la foto primera.



FOTO 27.- 27-16-GS-AH-9126. Panorámica de los depósitos miocenos que recubren una alineación de calizas jurásicas NO-SE en las inmediaciones de Jaulin. Los materiales miocenos pertenecen al Aragoniense superior y la tabla calcárea superior al Vallesiense, y se encuentran deformados en relación con la estructura del Jurásico, de manera que a la derecha del Jurásico (al Este) buzan hacia el E, y al Oeste parecen subhorizontales.



FOTO 28.- 27-16-GS-AH-9127. Detalle de las capas de margocalizas lacustres del Aragoniense superior en el sector de la Puebla de Albortón, mostrando deformaciones correspondientes a pliegues de "slumping" vergentes al Sur.



FOTO 29.- 27-16-GS-AH-9128. Conjunto de calizas lacustres vallesienses afectadas por una falla normal de salto métrico en las inmediaciones de la Urbanización Monte Pinar, en el alto de la Plana de Zaragoza.







































































